

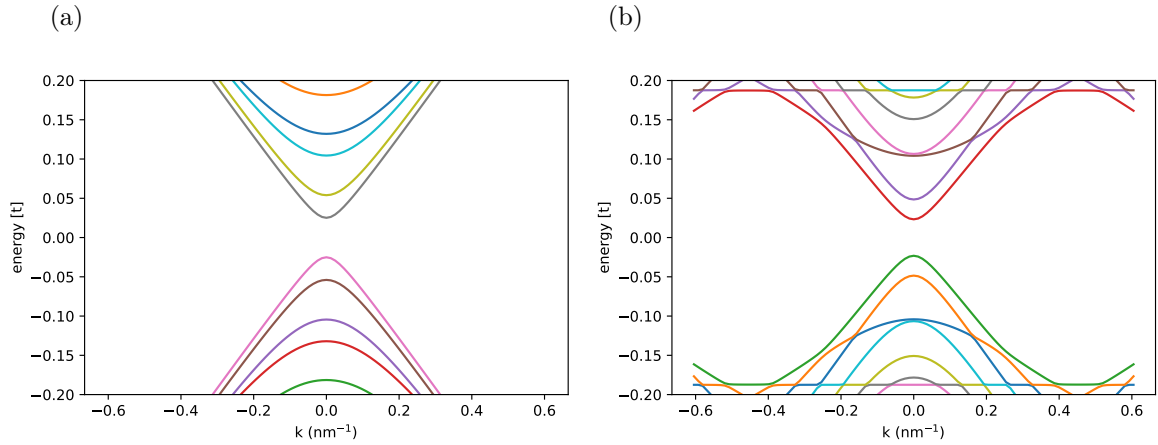
Orbity węzowe w złączu $p-n$ w grafenie

Wyniki

A. Mreńca-Kolasińska

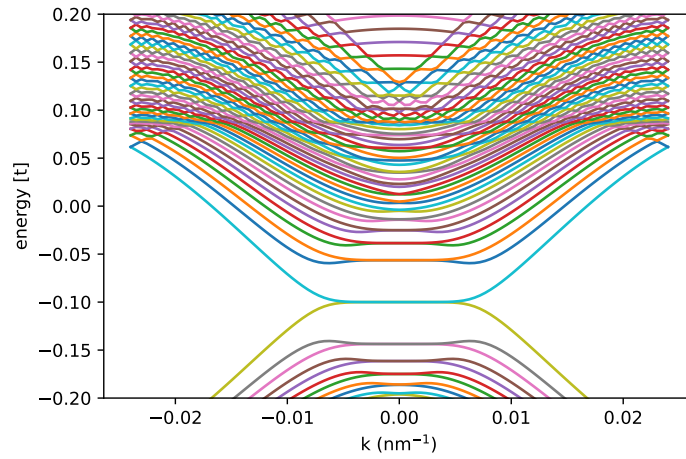
15 maja 2022; ostatnia aktualizacja 12 czerwca 2023

1. Wykresy relacji dyspersji w lewym kontakcie przy $s_f = 1$ oraz $s_f = 16$ i dla pola magnetycznego 0 T.

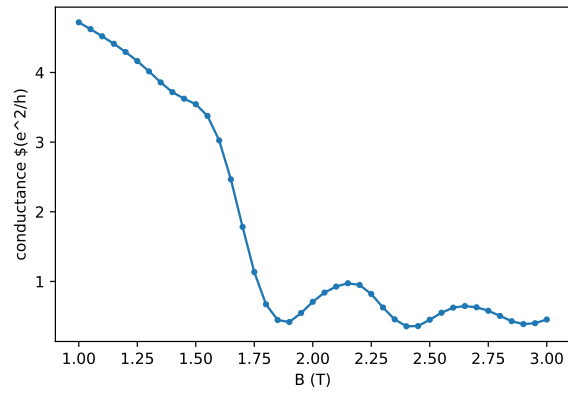


Rysunek 1: Relacja dyspersji (a) dla $s_f = 1$ (b) $s_f = 16$.

2. Relacja dyspersji dla $B = 1.5$ T, przy $s_f = 16$.

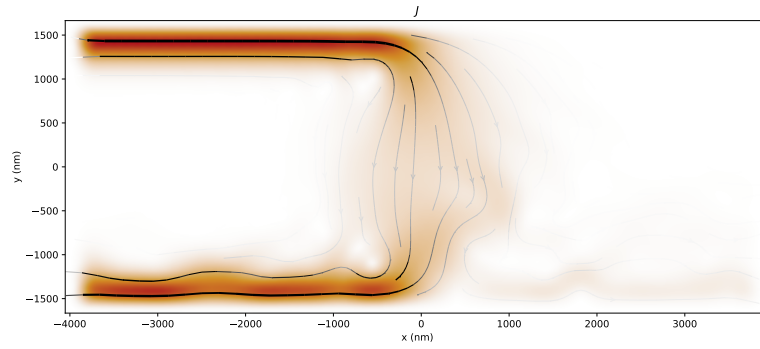


3. Przewodność w funkcji pola magnetycznego dla $V_{np} = 0.1$ eV.

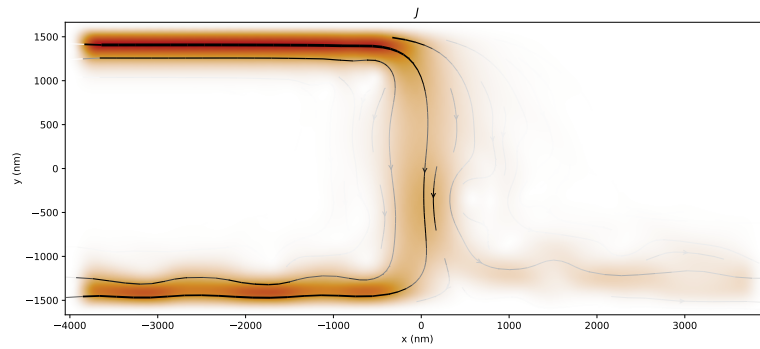


4. Mapy prądu przy B odpowiadającego minimum i maksimum G .

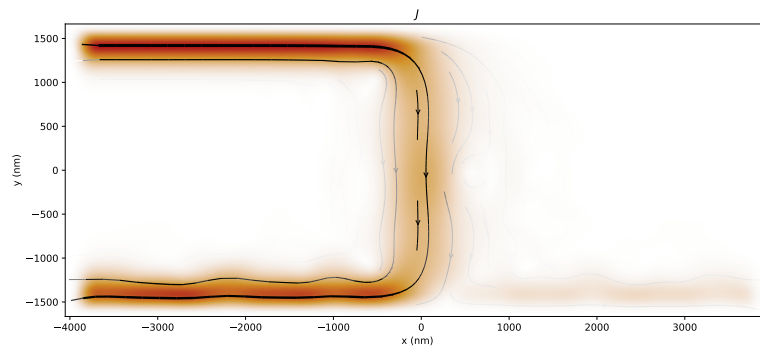
(a)



(b)



(c)



Rysunek 2: Mapy prądu dla (a) $B = 1.9$ T, (b) $B = 2.2$ T, (c) $B = 2.4$ T. W minimum G (a, c) widoczne rozproszenie wsteczne, w maksimum (b) przejście w dużej części.